

© 1992

## ОСОБЕННОСТИ ИК-СПЕКТРОВ ОТРАЖЕНИЯ МНОГОКОМПОНЕНТНЫХ ТВЕРДЫХ РАСТВОРОВ $HgCdMnTe$

*С. И. Кривень, Ю. И. Мазур, Г. Г. Тарасов, Н. В. Шевченко*

Методом Крамерса—Кронига проанализированы спектры отражения четверных полумагнитных соединений  $HgCdMnTe$ , снятые в широком интервале температур  $5 \leq T \leq 300$  К. Исследована структура комплексной диэлектрической функции  $\epsilon(\omega)$  и идентифицированы колебательные моды, генерированные из колебательных состояний бинарных и тройных компонентов. Предложена модель ангармонического резонансного взаимодействия щелевой моды, обусловленной антиструктурным дефектом и разностной двухфононной модой кристалла, объясняющей температурное поведение колебательного состояния в области частот  $\nu = 105$  см<sup>-1</sup>.

Особенностью динамики кристаллической решетки многокомпонентных полупроводниковых соединений является наличие значительного числа близких или перекрывающихся ветвей колебательных состояний. При выполнении определенных симметрийных условий такие состояния резонируют, модифицируя спектральное распределение, что проявляется в форме спектров ИК-отражения, поглощения, комбинационного рассеяния света, их температурных и концентрационных зависимостях. Узкозонные полупроводниковые соединения — один из наиболее удобных объектов для наблюдения резонансных взаимодействий, поскольку варьирование компонентного состава позволяет в широких пределах изменять параметры кристаллической решетки, зонной структуры, релаксационных процессов, обеспечивая оптимальные условия резонанса. Другим важным обстоятельством является близость энергий электронных и фононных возбуждений, нарушающая критерии адиабатичности в подобных системах и приводящая к возможности возникновения новых физических эффектов. С целью выяснения таких возможностей исследованы кристаллы  $Hg_{1-x-y}Cd_xMn_yTe$ , для которых достаточно подробно изучены тройные и бинарные компоненты, что позволяет уверенно идентифицировать их характеристические полосы.

Кристаллы  $Hg_{1-x-y}Cd_xMn_yTe$  различных компонентных составов синтезированы модифицированным методом Бриджмена при градиенте температур 35 К/см. Исследуемые образцы характеризуются структурой цинковой обманки и, как правило, имели форму пластин диаметром 10 и толщиной 0.3 мм. Обработка их поверхностей осуществлялась механической полировкой и последующим травлением в растворе бромистого метанола. Однородность распределения марганца устанавливалась по данным рентгеноструктурного анализа. Все кристаллы относились к *n*-типу, причем концентрация свободных носителей, определяемая по результатам холловских измерений, менялась в широких пределах от  $n = 1 \cdot 10^{15}$  до  $n = 5 \cdot 10^{17}$  см<sup>-3</sup> при комнатной температуре.

Измерения отражения в спектральном интервале 30—600 см<sup>-1</sup> выполнены на Фурье-спектрометре IFS-113V при температурах 5 К  $\leq T \leq 300$  К. Точность определения волновых чисел составляла 1—2 см<sup>-1</sup> во всем исследованном диапазоне. Полученные спектры отражения проанализированы методом Крамерса—

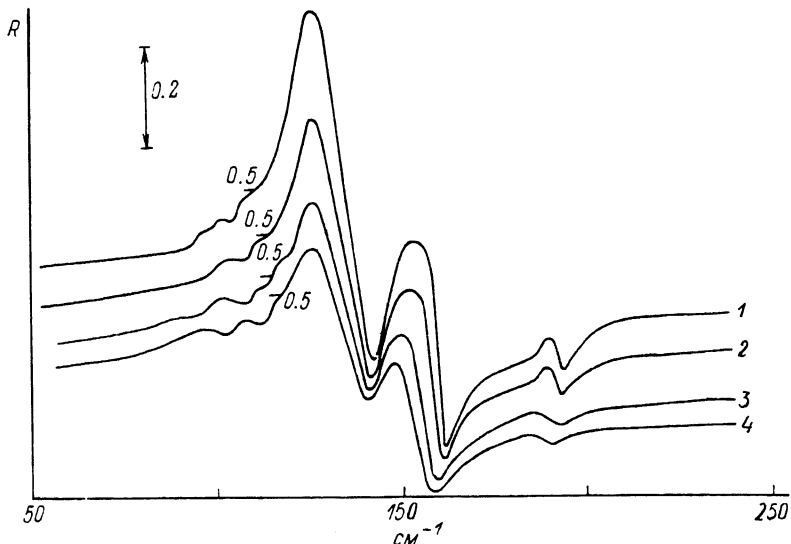


Рис. 1. Спектры отражения кристалла  $\text{Hg}_{0.655}\text{Cd}_{0.33}\text{Mn}_{0.015}\text{Te}$ , снятые при  $T = 5$  (1), 100 (2), 200 (3), 300 K (4).

Кронига, что позволило определить комплексную диэлектрическую проницаемость  $\epsilon(\omega)$ . Анализ  $\epsilon(\omega)$  показал заметное влияние резонансного электрон-фононного взаимодействия на спектр колебательных состояний, что значительно усложняло его интерпретацию. В силу этого мы пока ограничились случаем малых значений концентрации марганца ( $\approx 1.5\%$ ) и низких концентраций свободных носителей  $n = 1.9 \cdot 10^{15} \text{ см}^{-3}$ , позволяющим пренебречь плазмон-фононным взаимодействием и проследить генезис колебательных состояний многокомпонентного твердого раствора.

На рис. 1 представлены спектры отражения кристалла  $\text{Hg}_{0.655}\text{Cd}_{0.33}\text{Mn}_{0.015}\text{Te}$ , снятые при разных температурах. Как видно из этого рисунка, в спектрах отражения условно можно выделить три области: 1)  $80-140 \text{ cm}^{-1}$ , 2)  $140-160 \text{ cm}^{-1}$ , 3)  $160-220 \text{ cm}^{-1}$ , обусловленные разными физическими причинами. Первая область обычно связывается с существованием дефектных мод, и в ней наблюдаются наиболее сильные изменения формы спектра с увеличением температуры, в частности возрастает широкий пик при  $\nu \approx 105 \div 115 \text{ cm}^{-1}$ . Вторая область спектра отвечает спектральному диапазону продольно-поперечных расщеплений  $\text{HgCdTe}$ , и в ней температурные изменения формы спектра не значительны. В третьей области доминируют моды, индуцированные ионами  $\text{Mn}^{2+}$ . Интенсивность пиков в этой области спектра отражения коррелирует с содержанием марганца в кристалле.

Крамерс-крониговское преобразование спектров отражения позволило рассчитать спектральные зависимости  $\text{Im}(\epsilon(\omega))$  и  $\text{Im}(-\epsilon^{-1}(\omega))$ . Они содержат как характеристические пики, так и целый ряд особенностей, выраженных менее ярко. Сравнивая положения характеристических пиков с известными «градуировочными» зависимостями частот поперечных и продольных мод от компонентного состава  $\text{Cd}_x\text{Hg}_{1-x}\text{Te}$  [1, 2], мы идентифицировали полосы при  $\nu = 141$  и  $\nu = 160 \text{ cm}^{-1}$  как  $\text{HgTe}$ - и  $\text{CdTe}$ -подобные  $LO$ -моды колебаний решетки, а полосы при  $\nu = 123$  и  $\nu = 152 \text{ cm}^{-1}$  — как соответственные  $TO$ -моды колебаний, измеряемые при гелиевых температурах ( $T = 5 \text{ K}$ ). При повышении температуры от 5 до 300 K положение  $\text{HgTe}$ -подобных мод не изменяется в пределах погрешности эксперимента, в то время как  $\text{CdTe}$ -подобные моды сдвигаются в область меньших энергий на  $3-4 \text{ cm}^{-1}$ . Результаты исследования температурных

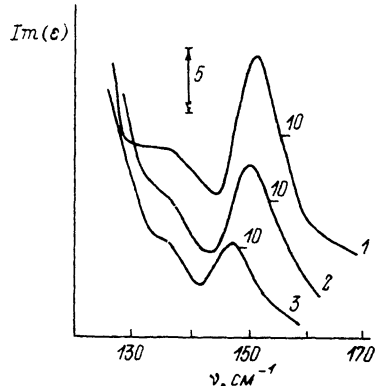


Рис. 2. Область продольно-поперечных расщеплений  $\text{HgCdTe}$  кристалла  $\text{Hg}_{0.655}\text{Cd}_{0.33}\text{Mn}_{0.15}\text{Te}$  при  $T = 5$  (1), 100 (2), 300 К (3).

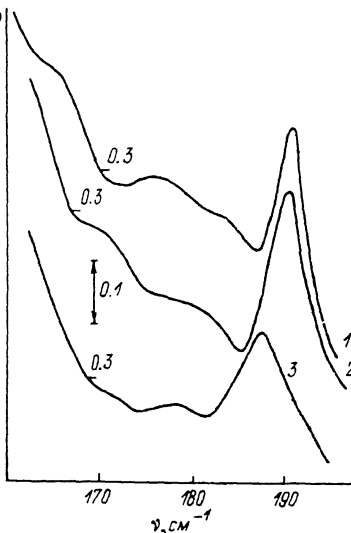


Рис. 3. Спектральная зависимость  $-\text{Im}(\epsilon^{-1}(\omega))$  кристалла  $\text{Hg}_{0.655}\text{Cd}_{0.33}\text{Mn}_{0.15}\text{Te}$  в области марганцевой моды при  $T = 5$  (1), 100 (2), 300 К (3).

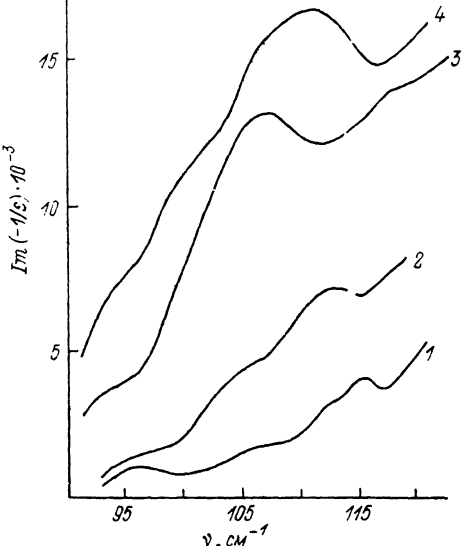
и спектральных изменений в области  $LO$ — $TO$  расщеплений  $\text{HgCdTe}$  коррелируют с известными литературными данными [1, 2]. Ниже мы основное внимание уделим анализу слабых структур спектров  $\epsilon(\omega)$  и  $-\text{Im}(\epsilon^{-1}(\omega))$ .

В области продольно-поперечных расщеплений при низких температурах наблюдается слабая полоса при  $\nu = 135 \text{ cm}^{-1}$ . Эта полоса проявляется в спектре  $\text{Im}\epsilon(\omega)$  (рис. 2) и может быть отнесена к колебаниям, имеющим поперечный характер поляризации. Подобные колебания наблюдались также методами КР-спектроскопии [3, 4] и связываются с кластерными модами. Однако методом ИК-спектроскопии кластерная мода  $\nu = 135 \text{ cm}^{-1}$  наблюдается впервые. Рекурсивные методы расчета плотности состояний  $\text{Hg}_{1-x}\text{Cd}_x\text{Te}$  [5] позволяют естественным образом связать наблюданную кластерную моду с колебаниями комплекса, состоящего из трех атомов  $\text{Hg}$  и атома  $\text{Cd}$ , связанных с одним и тем же атомом  $\text{Te}$ .

В области  $\nu > 160 \text{ cm}^{-1}$  и низких температурах ( $T = 5 \text{ K}$ ) доминирующей особенностью в спектре отражения является пик при  $\nu = 191 \text{ cm}^{-1}$ , амплитуда которого пропорциональна концентрации марганца.  $LO$ — $TO$  расщепление для него отсутствует, и моду  $\nu = 191 \text{ cm}^{-1}$  можно рассматривать как локализованное возбуждение. При повышении температуры до 300 К пик смещается на  $4 \text{ cm}^{-1}$  в сторону меньших энергий и существенно уширяется. Температурная зависимость полуширины пика  $\Gamma$  описывается законом  $\sim T^{2.5}$  при температурах  $> 200 \text{ K}$  и плавно переходит в зависимость  $\sim T^{0.8}$  при температурах ниже 80 К, что указывает на изменение механизма уширения при понижении температуры. Зависимость  $T^\alpha$ , где  $\alpha > 2$ , может быть связана с распадом локализованного возбуждения на два или более фононов решетки, а также с процессы квазиупругого рассеяния фононов решетки на примеси. При понижении температуры эти механизмы дают меньший вклад и в уширении доминируют однофононные процессы.

Как видно из рис. 3, при  $T = 100 \text{ K}$  в спектре  $-\text{Im}(\epsilon^{-1}(\omega))$  отчетливо выделяются два плеча при  $\nu = 170$  и  $180 \text{ cm}^{-1}$ , интерпретация которых проблематична. Анализ модового состава двойных и тройных компонентов показывает, что частота  $\nu = 170 \text{ cm}^{-1}$ , имеющая поляризацию  $LO$ -типа, может быть отнесена лишь к  $LO$ -моде пленки  $\text{CdTe}$ , возникающей, возможно, в результате обработки

Рис. 4. Низкоэнергетическое крыло функции потерь  
 $-\text{Im}(\epsilon^{-1}(\omega))$  для  $\text{Hg}_{0.655}\text{Cd}_{0.33}\text{Mn}_{0.015}\text{Te}$  при  $T = 5$  (1), 100 (2), 200 (3), 300 К (4).



му [1, 6–10]. В работе [1] отмечена ее сильная температурная зависимость, не позволяющая отнести полосу к однофононному процессу. В силу этого было предложено считать ее проявлением разностного процесса  $LO - TA$ , разрешенного в структуре цинковой обманки для  $L$  и  $X$  точек зоны Бриллюэна. Используя значения частот  $\nu_{LO} = 125$  и  $\nu_{TA} = 20 \text{ см}^{-1}$  при  $T = 77 \text{ K}$  авторы [1] нашли не только разностную частоту  $\nu = 105 \text{ см}^{-1}$ , но и определили энергетическое положение продольной акустической моды  $\nu_{LA}(\omega) = 112 \text{ см}^{-1}$ , которое коррелирует с впервые наблюданной нами в ИК-отражении полосой  $\nu = 113 \text{ см}^{-1}$ . Исследования [11–13] показали, что аналогичная полоса наблюдается в спектрах  $\text{HgCdTe}$ ,  $\text{CdMnTe}$ , которая относится к примесно-активированной  $LA$ -моде  $\text{CdTe}$ , причем, как показывают оценки, незначительного разупорядочения решетки достаточно для активирования  $LA$ -колебаний в спектральной области  $\nu < 120 \text{ см}^{-1}$ .

И наконец, мода  $\nu = 95 \text{ см}^{-1}$  может быть отнесена к так называемой  $G$ -моде, наблюданной также в спектрах отражения кристалла  $\text{Hg}_{1-x}\text{Mn}_x\text{Te}$ . На рис. 5 представлены полученные нами спектры отражения  $\text{Hg}_{0.89}\text{Mn}_{0.11}\text{Te}$  для различных температур. Аналогичные зависимости приведены также в работе [14].

Из рис. 5 видно, что мода  $\nu = 95 \text{ см}^{-1}$  смещается при повышении температуры в область меньших энергий, а при низких температурах попадает в область щели плотности состояний между акустическими и оптическими ветвями  $\text{HgTe}$ . В работе [14] высказано предположение, что  $G$ -мода связана с ионами  $\text{Mn}^{2+}$ , поскольку интенсивность отвечающего ей пика коррелирует с содержанием марганца в кристалле. Используя модель 17-атомного кластера, авторы [14] показали, что из  $LA$ -ветви может возникнуть локализованная мода симметрии  $T_2$ , которая имеет такой же по порядку величины колебательный дипольный момент, как и локальная мода, генерированная из оптической ветви. В силу этого она описывается как  $G(\omega)$  щелевая мода в спектре отражения. Второй слабый пик, наблюдавшийся в той же области спектра отражения  $\text{MnHgTe}$ , описывается как  $T$ -мода, которая в работе [10] отнесена к резонансным двухфононным процессам. Эта же мода наблюдается и в спектре отражения  $\text{HgCdMnTe}$  (рис. 4) на частоте  $\nu = 105 \text{ см}^{-1}$ . Модель резонансного двухфононного процесса предполагает наличие равенства ширины запрещенной зоны и энергии падающего фотона, отвечающей  $\nu_{LO} - \nu_{TA}$ . Для большинства составов  $\text{HgCdMnTe}$  это условие не выполняется,

поверхности  $\text{HgCdMnTe}$  раствором бромистого метанола. В целом же природа структуры высокочастотного крыла  $\text{CdTe}$  подобной  $LO$ -моды требует дополнительных исследований.

Наибольший интерес, с нашей точки зрения, представляет спектральная область  $80$ – $120 \text{ см}^{-1}$ , поскольку здесь в малом спектральном интервале расположены как дефектные моды разной природы, так и собственные и комбинационные моды решетки. Рис. 4 представляет низкоэнергетическое крыло  $-\text{Im}(\epsilon^{-1}(\omega))$  при разных температурах. Выделяющаяся структура прослеживается в широком диапазоне температур (вплоть до  $300 \text{ K}$ ). Наиболее сильная полоса  $\nu = 105 \text{ см}^{-1}$

интерпретируется в литературе по-разно-

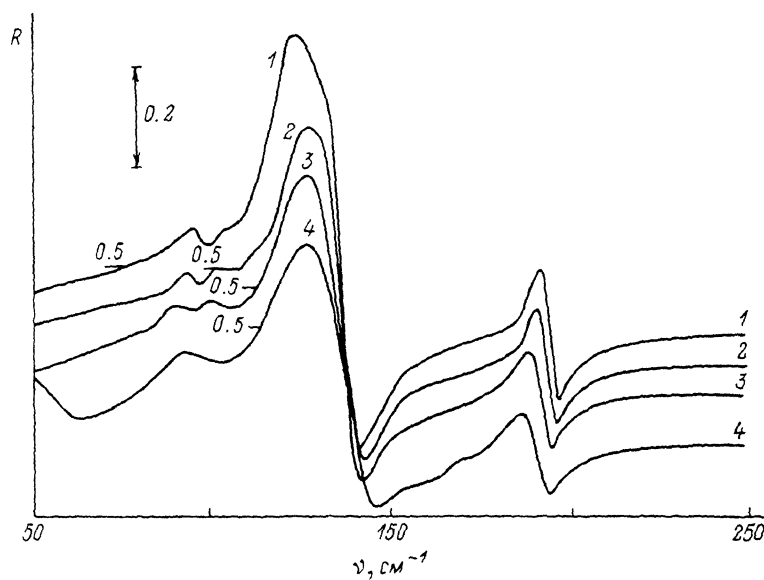


Рис. 5. Температурные изменения спектров отражения  $\text{Hg}_{0.89}\text{Mn}_{0.11}\text{Te}$  при  $T = 5$  (1), 100 (2), 200 (3), 300 К (4).

однако полоса  $\nu = 105 \text{ см}^{-1}$  наблюдается во всех измеренных нами составах (включая составы с положительной энергетической щелью), в том числе и при низких температурах ( $T = 5 \text{ K}$ ), когда разностные процессы вымораживаются. Основные характеристические особенности анализируемой полосы — большую силу осциллятора в спектрах ИК-отражения и температурную зависимость пика — невозможно объяснить отдельно в рамках моделей антиструктурного дефекта [15] или двухфононного разностного перехода [1, 2]. Их согласование достигается в рамках модели ангармонического резонансного взаимодействия генерируемой антиструктурным дефектом щелевой моды и моды разностных решеточных колебаний  $\text{HgTe}$ . Ранее модель резонанса локализованного возбуждения и спектра двухфононных состояний решетки привлекалась для описания температурных и концентрационных зависимостей  $\text{CdSSe}$  [16]. В результате резонансного взаимодействия происходит гибридизация волновых функций резонирующих состояний и возникает тонкая структура спектрального распределения. Сила осциллятора перехода в поглощении увеличивается за счет «подмешивания» волновых функций локализованных состояний, а температурная зависимость спектра определяется в основном температурной зависимостью моды разностной частоты. Теоретическое рассмотрение модели и сравнение ее результатов с результатами эксперимента мы приведем в отдельной работе. Здесь же мы отметим, что модель качественно отражает как температурные, так и концентрационные особенности спектра отражения в области щелевых мод кристалла  $\text{HgCdMnTe}$ .

Проведенный анализ тонкой структуры спектральных зависимостей  $\epsilon(\omega)$  позволяет в частном случае кристалла  $\text{HgCdMnTe}$  идентифицировать практически все колебательные состояния, развивающиеся из состояний бинарных и тройных компонент полупроводникового твердого раствора. Исследование температурных изменений спектров отражения позволяет предложить модель ангармонического резонансного взаимодействия щелевых и разностных мод  $\text{HgCdTe}$ , описывающую особенности температурного поведения пика в области  $\nu \approx 105 \text{ см}^{-1}$ . Другие компонентные составы, для которых уменьшается ширина запрещенной зоны, а также составы с большой концентрацией свободных электронов требуют учета вклада свободных носителей и переходов в более высокие энергетические состояния и будут рассмотрены отдельно.

## Список литературы

- [1] Baars J., Sorger F. // Solis St. Commun. 1972. V. 10. N 9. P. 875—878.
- [2] Kozyrev S. P., Vodopyanov L. K., Triboulet R. // Solid St. Commun. 1983. V. 45. N 4. P. 383—385.
- [3] Tiong K. K., Amirtharaj P. M., Parayanthal P., Pollak F. H. // Solid St. Commun. 1984. V. 50. N 10. P. 891—894.
- [4] Vodopyanov L. K., Kozyrev S. P., Aleshchenko Ju. A., Triboulet R. // Marfaing J. Proc. 17th Int. Conf. on Physics of semiconductors (San Francisko, 1984) / Ed. J. D. Chadi, W. A. Harrison. N. Y., Berlin, Heidelberg, Tokio: Springer, 1985. P. 947—950.
- [5] Fu Z., Dow J. D. // Phys. Rev. B. 1987. V. 36. N 14. P. 7625—7626.
- [6] Иванов М. А., Квашнина Л. Б., Кривоглаз М. А. // ФТТ. 1965. Т. 7. № 7. С. 2047—2052.
- [7] Лисица М. П., Тарасов Г. Г., Бережинский Л. И. // ФТТ. 1974. Т. 16. № 5. С. 1302—1307.
- [8] Козырев С. П., Водопьянов Л. К., Трибуле Р. // ФТТ. 1983. Т. 25. № 3. С. 635—641.
- [9] Amirtharaj P. M., Tiong K. K., Parayanthal P., Pollak F. H., Furdyna J. K. // J. Vac. Sci. Technol. A. 1985. V. 3. N 1. P. 226—232.
- [10] Witowski A. H., Grynberg M. // Phys. Stat. Sol. (b). 1980. V. 100. P. 989—997.
- [11] Rowe J. M., Nicklow R. H., Price D. L., Zanio K. // Phys. Rev. B. 1974. V. 10. P. 671—676.
- [12] Venugopalan S., Petrou A., Galazka R. R., Ramdas A. K., Rodriguez S. // Phys. Rev. B. 1982. V. 25. P. 2681—2686.
- [13] Clayman B. P., Orlowski T. A., Becla P. // J. Appl. Phys. 1989. V. 66. N 2. P. 835—837.
- [14] Lu W., Yu Z. Y., Ye H. J., Xu W. L., Ma K. J., Shen S. C. // Phys. Rev. B. 1989. V. 40. N 5. P. 3383—3389.
- [15] Talwer D. N., Vandevyver M. // J. Appl. Phys. 1984. V. 56. N 6. P. 1601—1607.
- [16] Лисица М. П., Тарасов Г. Г., Яремко А. М. // ФТТ. 1977. Т. 19. № 4. С. 1122—1126.

Институт полупроводников  
АН Украины  
Киев

Поступило в Редакцию  
13 мая 1991 г.  
В окончательной редакции  
11 ноября 1991 г.